

東海大学 正員 猪田 信穂
東海大学 正員 ○白子 博明

東海大学 正員 赤石 晴
東海大学 学員 森 公一

1. まえがき

タイに働く負の摩擦力を算定する場合、一般的に利用される方法として δ/γ 法あるいは Bjerrum 法などがある。

一軸圧縮試験結果を利用する δ/γ 法は簡便なため、多く利用されているが負の摩擦力を小さめに見積ると言わかれている。また、Bjerrum 法は地中の鉛直有効応力に、ある係数を乗じて負の摩擦力の大きさを算定しようとするものであるが、係数は土やタイの材質および盤内の応力状態によって大きく変化し、その値を適確に把握することはきわめて難しいとされている。

本報告は、三軸室内で負の摩擦力を作用するタイの模型実験を行ない、模型タイに実際に生じる負の摩擦力の測定値と δ/γ 法ならびに Bjerrum 法の予測値を比較し若干の考察を加えたものである。

2. 試料および実験方法

2.1 試料 実験に用いた試料は千葉県柏市で採取した沖積粘土であり、その物理的性質は表～1に示すとおりである。

2.2 実験方法 液性限界以上の含水比で十分練り返した試料をモールドに詰め自立する程度に圧密する。この試料を大型等方圧密試験機に移し 0.2 kg/cm^2 等方圧密する。等方圧密を終了した試料から直径 11.2 cm 、高さ 5 cm の実験用粘土供試体を成形した。供試体の中心に直径 1.2 cm の孔を供試体上面、下面に対して直角にあけ、その中に直径 1.19 cm 、長さ 5.5 cm の鋼棒(タイを想定)を挿入し、図～1に示すような状態で三軸圧縮室内にセットした。

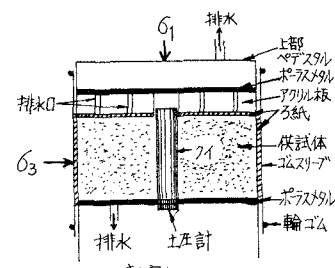
タイ周面に働く下向きの摩擦力は、タイ下端に設置した土圧計によって測定した。タイの断面積と土圧計の後面の面積は等しくし、タイ周面に生じる摩擦力のみ測定できるようにした。タイ周面の単位面積当たりの負の摩擦力 F_p は、式(1)より求めめる。

$$F_p = F / A \quad (1)$$

ここで A は、タイ周面と供試体とが接している面積、 F はタイ下端に生じる力(土圧計によって測定される)である。タイ上端には力が加わらないように、直径 1.4 cm の孔をアクリル板の中心にあけ、供試体と上部ペデスターとの間に設置した。在差時間で短縮するため、供試体周面にはペーパードレーンを巻き、供試体上部および下部より排水を行なった。三軸室内にセットした後再び 0.2 kg/cm^2 で 24 時間等方圧密した後、等方圧密圧力を、(1) $\sigma'_m = 0.4, 0.8, 1.2 \text{ kg/cm}^2$ あるいは(2) $\sigma'_m = 0.6, 1.0, 1.6 \text{ kg/cm}^2$ と順次 24 時間間隔で載荷し等方圧密試験を行なった。また(3) $\sigma'_m = 0.2, 0.4, 0.6 \text{ kg/cm}^2$ の各等方圧密段階から側方圧密圧力 σ_3' を一定に保ち、鉛直方向の土圧 σ_1' を所定の主応力比 K ($\sigma'_m = 0.2$ のときは $K=1, 0.63, 0.44$, $\sigma'_m = 0.4, 0.6$ のときは $K=1, 0.8, 0.6, 0.44$) まで徐々に増加させ異方圧密試験を行ない、排水量、鉛直方向の土圧量およびタイに働く負の摩擦力を測定した。さらに(4) 実験(1)における最終荷重段階($\sigma'_m = 1.6 \text{ kg/cm}^2$)から平均有効応力 σ'_m を一定に保ち主応力差を増加させる異方圧密試験を行なった。また、各実験ごとに終了した粘土試料から一軸圧縮試験用供試体を採取し、一軸圧縮強度 σ_u を測定した。

表～1
試料の物理的性質

G_s	$W_L(\%)$	$W_P(\%)$	$L_g(\%)$	K_0
2.64	112.0	51.0	10.6	0.44



図～1

3. 実験結果および考察

図～2(a)(b)は実験(1)(2)の結果から、それぞれ体積比 ϵ_V と ϵ_V に働く負の摩擦力 T_p の経時変化を示したものである。 ϵ_V と T_p の経時変化はよく類似しており、圧密圧力の増加とともに ϵ_V も増加することがわかる。また ϵ_V の経時変化から24時間でほぼ一次圧密が終了していると考えられるので圧密終了時の鉛直方向の有効応力 σ'_V と供試体とクイの間の摩擦係数 μ の関係を図～3に示す。摩擦係数 μ が圧密時の応力状態(等方圧密か異方圧密か)や圧密圧力の大きさによらずほぼ一定であることが明らかである。

そこで、実験(3)の結果から負の摩擦力 T_p と最大有効主応力 σ'_V の関係を示したのが図～4である。図～4から、 σ'_V が増加しても T_p が変化しなければ T_p もほぼ一定であることが認められる。クイに作用する負の摩擦力の算定法には、一軸圧縮試験結果を用いる、 μ 法とBjerrum法がある。Bjerrum法の T_p 算定式は、

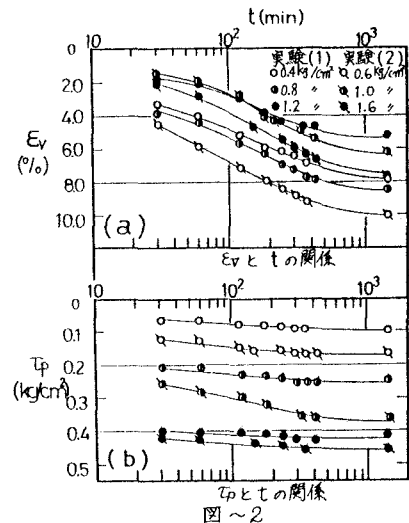
$$T_p = \sigma'_V \tan \phi' = K \cdot \tan \phi' \cdot \sigma'_V \quad (2)$$

である。ここで、 σ'_V は水平方向の有効応力、 $\tan \phi'$ は鉛直方向の有効応力、 $\tan \phi'_V$ はクイと土の間の摩擦係数、 K は有効応力による土のせん断抵抗角、 $K = \sigma'_V / \sigma'_H$ である。

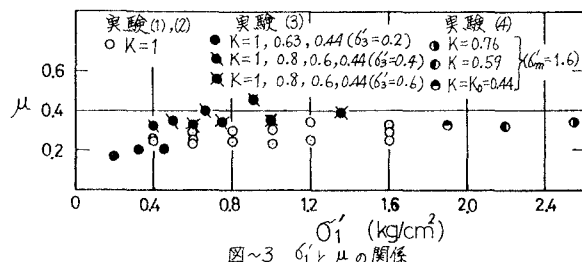
Bjerrumはクイと土の間の摩擦係数 $\tan \phi'_V$ と土相互間の摩擦係数 $\tan \phi'$ とが近似的に等しいとしている。今回実験に用いた試料は、 $\phi = 40.3^\circ$ であり、これを用いて(2)式より T_p を求め $\sigma'_V = \sigma'_H$ ならびに、 μ 法で T_p と σ'_V の関係を計算し実測値と比較したのが図～5である。図～5によれば μ 法、Bjerrum法とも実測値よりも大きめの T_p を与えていることがわかる、また、 $\tan \phi'_V$ と $\tan \phi'$ の値には大きな違いがあるものと思われる。 μ 法は過小な摩擦力を与えると言われているが図～5の結果は逆である。粘性土の C_u ～ ϕ' 関係は土によって大きく変化すると考えられる。今回の実験はその一例である、各算定法には土による適用限界があると思われるが、その点を重視して今後さらに検討を加える必要がある。

4.まとめ

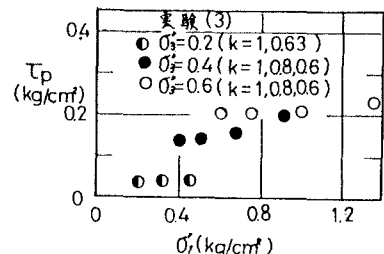
今回の実験で得られた結果を要約するとつきのとおりである。(1)クイに働く負の摩擦力は、クイ体に垂直に働く負の有効応力の関数として予測することができる。(2) μ 法ならびにBjerrum法でクイに働く負の摩擦力を算出すると実験値より大きめの値を見積ることになる。などである、今回は実験数も少なく、実験方法にも改良すべき点があると思われる。今後試料の数を増加し、実験条件も原地盤に対応したもので行なうつもりである。



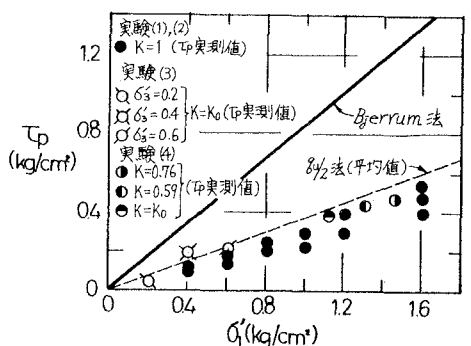
図～2



図～3 σ'_V と μ の関係



図～4 T_p と σ'_V の関係



図～5 T_p と σ'_V の関係